

# 宁南冰雹胚胎的研究

陈玉山 牛生杰

(宁夏气象科学研究所)

## 提 要

本文对宁南山区5个雹暴的395个冰雹做了切片分析，结果表明：雹胚占66.4%，冻滴胚占33.6%。通过10个冰雹的同位素氘和晶体分析发现，绝大多数雹胚的生长温度为-12℃—-23℃，冻滴胚形成的温度为-8℃—-14℃。雹胚的生长高度比冻滴胚形成的高度平均高1km以上。

关键词：宁夏；冰雹；雹胚

## 一、引言

国外许多学者对雹胚作了研究<sup>[1]</sup>，一般认为雹胚是冰雹中心直径小于数毫米的早期生长单元<sup>[2]</sup>。冰雹生长可以看成是一个二阶段过程，因此，收集到的雹块要按雹胚（小于数毫米）和起始生长层（1cm左右）的冰晶气泡结构进行分类。Federer<sup>[2]</sup>根据上述原则，把雹胚分为二大类（雹胚和冻滴胚），再考虑第一生长层又把雹胚分成七类。Knight 和 Knight<sup>[3]</sup>把胚体中心的晶体、气泡以及外形特征相结合，把雹胚分为四类：1. 锥形胚，也称为雹胚；2. 球状透明胚；3. 多气泡球状胚；4. 其它。他们从40个风暴取得400个冰雹中作了分析，得出各类雹胚出现的百分率依次为60%、25%、10% 和 5%。Knight 和 Knight<sup>[4]</sup>还指出，对大陆性气候，雹胚占多数，而海洋性气候，冻滴胚占多数。在同一地点收集到的同一雹暴的冰雹中，大多数具有相同类型的胚胎。

本文对所收集到的宁南山区5次雹暴过程中，共395个冰雹的切片资料进行了分析，按形成的性质、晶体大小、透明度，把雹胚分为二类（雹胚和冻滴胚），给出了这一地区各类雹胚的出现频率，锥形雹胚的生长分层等，由10个冰雹同位素氘分析资料给出了雹胚的形成高度。

## 二、雹胚的分类

前面已经谈到国内外学者对雹胚的分类作了许多论述。我们在讨论中，仅把雹胚按其性质分为二大类：即雹胚和冻滴胚。

冰雹中心（不是几何中心），早期数毫米生长单元，气泡多，呈白色不透明冰，晶体平均长度小于1.0mm为雹胚。冰雹中心早期数毫米生长单元，气泡少，呈透明冰，晶

1987年11月6日收到，1988年3月26日收到修改稿。

体平均长度大于 1.5mm 为冻滴胚。作者把 5 次雹暴的 395 个冰雹胚胎进行分类统计，其结果见表 1。

表 1 霰胚统计一览表

降雹日期	降雹地点	最大雹块直径	霰胚		冻滴胚		雹块数
			个数	%	个数	%	
1983 年 7 月 25 日	泾源黄花乡	>4.8cm	8	50	8	50	16
1984 年 7 月 20 日	海原郑旗乡	6.4cm	23	62	14	38	37
1984 年 8 月 7 日	六盘山气象站	2.4cm	140	71	57	29	197
1984 年 8 月 20 日	固原山河乡	3.0cm	54	77	16	23	70
1984 年 8 月 22 日	泾源惠台乡	3.3cm	54	72	21	28	75

### 三、雹胚的晶体特征

雹胚的不同晶体特征，反映出雹胚生长环境的要素场特征。霰胚的晶体特征是在冰雹中心早期数毫米生长单元，晶体小而乱，成无规则排列，平均晶体长度小于 1.0mm，它是在雹云的上部生成的，环境温度较低。本地区 5 次雹暴的多数霰胚呈锥形，并具有较为明显的生长分层。图 1(a) (见图版 I) 是 84127 号冰雹反射光照片，是典型锥形特征的霰胚，锥尖为白色不透明冰，锥体是黑白相间的“扇面”。白色“扇面”为不透明层，而颜色较黑的“扇面”为透明层，锥形霰胚的大小(由锥尖到锥底)一般为 7mm 左右，它的晶体结构由二部份组成(见图版 I 图 1(b))，从图上清楚地看到在霰胚的锥尖 2—3mm 直径是小于 1.0mm 的小晶体，锥体部份则是大于 2.0mm 的大晶体。无论在反射光照片上表现为透明层还是不透明层，有的晶体由冰雹中心一直长到外层，不透明层只表现出许多大的气泡线。由晶体结构表明，锥尖处晶体较小，它是在较高的高度上形成的，而后掉到云的中部长成锥形雹胚。

冻滴胚的晶体特征是在冰雹中心数毫米早期生长单元中，只有几块大晶体，排列较整齐，晶体长度大于 1.5mm，它与增长层的小晶体界线清楚，是由大水滴冻结而成。冻滴胚多数呈球状，直径一般为 2—4mm。图 2a (见图版 I) 是 84032 号冰雹的反射光照片，中心是一个 2mm 直径圆球状的透明冰，它是由雨滴被上升气流带到高空冻结而成。图 2b (见图版 I) 是 84032 号冰雹正交偏振光照片，雹胚中心是一个圆球状大晶体，颜色发黑，洁净透明，周围是蓝色的小晶体。

无论是霰胚还是冻滴胚冰雹，在正交偏振光照片上，发现有的雹胚有生长“核心”，周围的晶体围绕着这一“核心”生长。图 3a (见图版 II) 是 84052 号雹块的晶体照片，箭头处是一个 2.2mm 的大晶体，周围的小晶体约为 0.8mm，围绕着大晶体生长。图 3b (见图版 II) 是 84006 号雹块的晶体照片，雹块最大直径为 6.4mm，箭头处是一个 3.2mm × 2.0mm 的大晶体，周围有一圈小于 1mm 的小晶体。在 395 个冰雹切片分析中，发现有生长“核心”的冰雹就有 5 个，它们有的“核心”是雨滴冻结而成，有的是大冰晶。

#### 四、双雹胚冰雹

在1984年8月7日六盘山气象站收集的冰雹样品中，做了197个冰雹切片，发现有一个双雹胚的冰雹。图4a和b（见图版II）是84185号冰雹的反射光和偏振光照片，在照片上清楚地看到有二个雹胚连在一起，形成一个双胚冰雹。

#### 五、雹胚的同位素氘分析

1984年7月20日10个大雹块雹胚的同位素氘分析<sup>1)</sup>（如表2），表中 $\delta D$ 是氘含量的值，用千分差表示， $T_a$ 为用同位素氘廓线查得雹胚的生长环境温度， $H$ 是08点探空资料用一维积云模式<sup>[5]</sup>计算的 $T_a$ 温度下云内海拔高度， $L$ 为雹胚平均晶体长度。

表2 10个雹块雹胚的同位素氘分析结果

冰雹序号	雹胚性质	$\delta D$ (‰)	$T_a$ (℃)	$H$ (m)	$L$ (mm)
84004	雹	-93.5	-12.5	7700	1.1
84006	冻滴	-86.0	-8.5	7050	3.2
84025	冻滴	-96.1	-14.4	8000	1.4
84029	冻滴	-85.0	-7.8	6950	2.5
84051	雹	-114.9	-40.0	11750	0.8
84052	雹	-98.6	-15.8	8250	1.0
84053	雹	-100.7	-17.5	8560	0.7
84055	雹	-107.5	-23.2	9700	0.4
84064	雹	-97.0	-15.0	8100	0.8
84065	雹	-94.7	-13.5	7850	-

从表2清楚地看到雹胚的 $\delta D$ 为-94.7—-114.9‰，平均为-101.0‰，高度为8850m左右。冻滴胚的 $\delta D$ 为-85.0—-96.1‰，平均为-89.0‰，高度在7300m左右。大多数雹胚生长温度为-12—-23℃，处在雹云的中上部。冻滴胚生成温度为-8—-14℃，处在雹云的中部。两者生成高度平均相差1550m左右。

#### 六、锥形雹胚的生长层次分布及其解释

1984年8月7日的多数冰雹（直径1—2cm）的锥形雹胚有较明显的层次分布，对本次雹暴73个锥形雹胚的统计表明，三层为8.2%，四层为53.4%，五层为17.8%，六层为5.5%，锥形雹胚的透明层与不透明层是交替出现的，第一、三、五层为透明层；第二、四、六层为不透明层。

当云中含水量小于干湿生长的临界含水量时，雹胚处于干生长状态，过冷却水滴碰并在雹胚上立刻冻结，故气泡浓度较大，而气泡直径较小，为白色的不透明层。当含水量大于临界含水量时，雹胚处于湿生长，碰并到雹胚上的过冷却水滴冻结缓慢，冻结时形成的气泡浓度小，而气泡直径较大，这样形成的层次为透明层。

1) 陈玉山等，宁南山区大冰雹同位素氘的分析（待发表），1987。

## 七、雹胚的形状与冰雹形状的关系

对于小冰雹，73个锥形雹胚，几乎全部形成了锥形或椭球形冰雹，而25个冻滴(球形)胚，则全部形成球形冰雹。而对于大冰雹，无论是锥形胚还是球形胚，几乎全部形成球状或椭球形冰雹，这与 Carte 和 Kidder<sup>[6]</sup>的结论相似。

## 八、锥形冰雹生长层厚度的讨论

1984年8月7日收集的小冰雹都只有一个生长层，大多数为湿生长。我们对具有锥形雹胚的锥形冰雹，三个方向(锥顶、锥底和侧向)的生长厚度(以雹胚的边缘算起)作了统计，冰雹的锥顶方向生长厚度平均为2.8mm，锥底方向平均为4.7mm，侧向为3.6mm。锥形冰雹在锥底方向的生长层比其它方向厚，这是冰雹在下落时锥底朝下，使得底部能捕获到较多的过冷水滴，生长层就比其它方向厚。

## 九、小 结

从5次雹暴的切片资料看，宁南山区冰雹的胚胎以雹胚为主。锥形雹胚具有较明显的生长分层，一般为四层，透明层与不透明层交替出现。

绝大多数雹胚的生长温度为-12℃—-23℃，冻滴胚形成的温度为-8℃—-14℃。

在正交偏振光照片中，发现有的雹胚中心有“核心”生长晶体。

在整个切片资料中，发现了一个双雹胚冰雹。

## 参 考 文 献

- [1] 中央气象局情报研究所，1977，云物理与人工影响天气，156—162。
- [2] 科学技术文献出版社重庆分社，1978，国外人工影响天气参考资料(第3辑)，科学技术文献出版社，40—45。
- [3] Knight, C.A. and Knight, N.C., 1970, Hailstone embryos, *J. Atmos. Sci.*, 27, 659—666.
- [4] Knight, C. A. and Knight, N. C., 1976, Hailstone embryo study, Preprints of international conference on cloud physics, July 26—30, 1976, Boulder Colorado, 222—226.
- [5] 胡志晋等，1979，积云暖雨过程及其盐粉催化的参数化数值模拟，大气科学，第3卷，第4期，334—342。
- [6] Carte, A.E. and Kidder, R.E., 1966, Transvaal hailstones, *Quart. J. Roy. Meteor. Soc.*, 92, 382—391.

陈玉山等：宁南冰雹胚胎的研究

图版 I

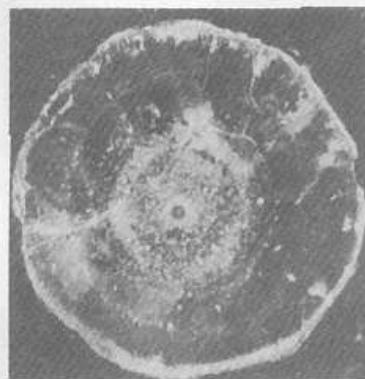


图1 (a) 84127号  
冰雹的反射光照片 (标尺每格1mm)

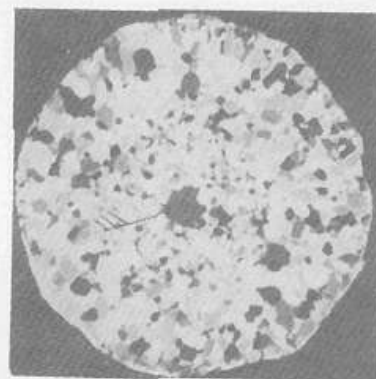


图1 (b) 84127号  
冰雹的偏振光照片



图2 (a) 84032号  
冰雹的反射光照片  
(最大直径4.8cm)



图2 (b) 84032号  
冰雹的偏振光照片

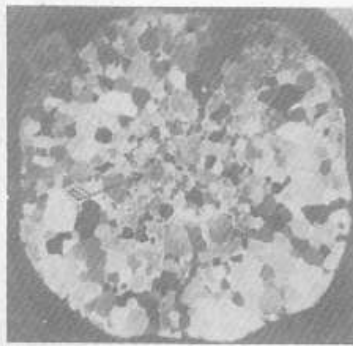


图 3(a) 84052 号  
冰雹的偏振光照片

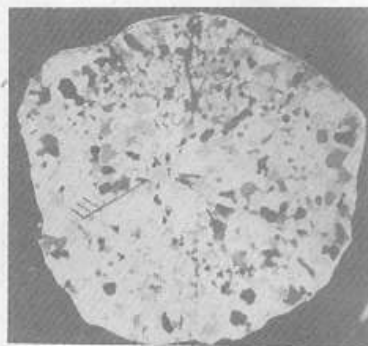


图 3(b) 84006 号  
冰雹的偏振光照片



图 4(a) 84185 号  
冰雹的反射光照片  
(标尺每格 1mm)

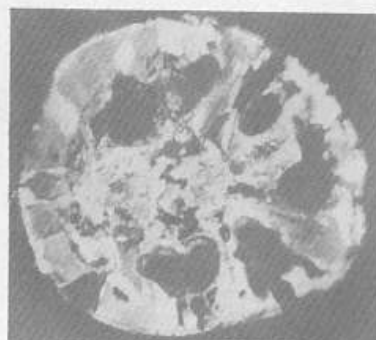


图 4(b) 84185 号  
冰雹的偏振光照片